

Об одном механизме зародышеобразования в кристаллах с комбинированной анизотропией

© Р.М. Вахитов, А.Р. Юмагузин*

Башкирский государственный университет,
450074 Уфа, Россия

* Институт физики молекул и кристаллов Российской академии наук,
450075 Уфа, Россия

E-mail: YumaguzinAR@ic.bashedu.ru

(Поступила в окончательном виде 18 мая 2000 г.)

Теоретически изучены условия возникновения и устойчивые состояния магнитных неоднородностей типа "статических" солитонов в (111)-пластине ферритов-гранатов с комбинированной анизотропией. Рассмотрена модель "статических" солитонов и путем численной реализации соответствующей вариационной задачи определены основные его свойства. Показано, что эти неоднородности могут зарождаться на дефектах кристалла и играть существенную роль в кинетике фазового перехода типа спиновой переориентации.

Известно, что свойства магнитных материалов существенным образом зависят от наличия в них доменной структуры (ДС). Распределение намагниченности во всем кристалле, в том числе и в переходном слое, во многом определяется геометрией образца, симметрией кристаллической решетки, наличием анизотропных взаимодействий высших порядков и т.д. [1–3]. Однако даже в простейшем случае, например в одноосном ферромагнетике, возможно существование одномерных магнитных неоднородностей с нетривиальной топологией. В частности, исследования фазовых траекторий вектора намагниченности \mathbf{M} для этих кристаллов показывает, что в них наряду с 180° -й доменной границей (ДГ), соединяющей два домена с противоположно направленными ориентациями вектора \mathbf{M} , могут возникать магнитные неоднородности типа 0° -ДГ или "статических солитонов" (СС) [4]. Этим неоднородностям, соединяющим одно и то же доменное состояние вектора \mathbf{M} , соответствует распределение намагниченности в переходном слое, имеющее колоколообразную форму.

С другой стороны, в ряде магнитных материалов, таких, как эпитаксиальные пленки ферритов-гранатов [5], одновременно присутствуют два типа анизотропий различной природы: наведенная одноосная (НОА) и естественная кубическая (КА). Расчеты показывают [6], что наличие такой комбинационной анизотропии в магнетиках при определенных условиях также может привести к возникновению в них СС. Следует отметить что, локализованные решения такого типа возникали и ранее (см., например, [7]), но никто не обращал на них внимание вследствие их топологической неустойчивости. В то же время в ряде экспериментальных исследований было обнаружено существование ДГ с подобной структурой [2,8,9], причем они наблюдались в разных материалах, в том числе и в ферритах-гранатах. Поэтому изучение свойств этих неоднородностей и условий их зарождения для пластин с комбинированной анизотропией представляет актуальную задачу.

1. Статические солитоны в идеализированной модели

Рассмотрим ферромагнитный кристалл в виде плоскопараллельной бесконечно протяженной пластины толщиной D , в которой имеет место сочетание НОА и КА. Для определенности возьмем пластину типа (111), т.е. будем считать, что легкая ось НОА совпадает с нормалью к пластине \mathbf{n} , причем $\mathbf{n} \parallel OZ \parallel [111]$. Примем, что ось OY лежит в плоскости (111), составляя угол φ_0 с осью $[1\bar{1}0]$, и совпадает с направлением, вдоль которого магнетик неоднороден. Тогда энергия магнитных неоднородностей в пластине (111) с учетом обменного взаимодействия, энергии КА, НОА и размагничивающих полей объемных зарядов в винтеровском приближении [10] имеет вид

$$E = \int dV \left\{ A \left[\left(\frac{\partial \Theta}{\partial y} \right)^2 + \sin^2 \Theta \left(\frac{\partial \varphi}{\partial y} \right)^2 \right] + K_u \sin^2 \Theta + K_1 \left[\frac{\sin^4 \Theta}{4} + \frac{\cos^4 \Theta}{3} + \frac{\sqrt{2}}{3} \sin^3 \Theta \cos \Theta \cos 3(\varphi - \varphi_0) \right] + 2\pi M_s^2 (\sin \Theta \sin \varphi - \sin \Theta_\infty \sin \varphi_\infty)^2 \right\}, \quad (1)$$

где A — обменный параметр, K_u , K_1 — соответственно константы НОА и КА, M_s — намагниченность насыщения, Θ , φ — полярный и азимутальный углы вектора \mathbf{M} , Θ_∞ , φ_∞ — характеризуют направление \mathbf{M} в доменах, V — объем пластины. Здесь предполагается (идеализированная модель), что пластина является достаточно толстой, и пренебрегается вкладом размагничивающих полей поверхностных зарядов в энергию (1).

Уравнения Эйлера, минимизирующие энергию (1), имеют вид

$$\frac{\delta E}{\delta \Theta} = 0, \quad \frac{\delta E}{\delta \varphi} = 0, \quad \frac{\delta E}{\delta \varphi_0} = 0 \quad (2)$$

при выполнении условия

$$\delta^2 E > 0. \quad (3)$$

Решая эти уравнения, можно определить как спектр магнитных фаз, так и структуру магнитных неоднородностей, возможных в пластине (111). Их анализ показывает, что при $K_u > 0$ и $\varkappa < 4/3$ ($\varkappa = K_1/K_u$) возможно существование 180° блоховских ДГ ($\varphi = 0, \pi$) с $\mathbf{M} \parallel [111]$ в доменах с $\varphi_0 = \pi k/3$, $k \in Z$. В области $1.314 < \varkappa < 4/3$ в структуре 180° -ДГ появляются перетяжки (в распределении вектора \mathbf{M} возникают дополнительные точки перегиба), которые обусловлены появлением метастабильных осей, лежащих в плоскости ДГ и приводящих к задержке вращения спинов вблизи них. Этим направлениям \mathbf{M} на фазовой диаграмме пластины (111) [6] соответствует угловая фаза типа $[u\bar{u}w]$, которая в данной области значений \varkappa является метастабильной, а симметричная фаза с $\mathbf{M} \parallel [111]$ — устойчивой. При $\varkappa = 4/3$ происходит спин-переориентационный фазовый переход (СПФП) I рода: $[u\bar{u}w] \leftrightarrow [111]$. В области $4/3 < \varkappa < 3/2$ магнитная фаза $[111]$ является метастабильной, а фаза $[u\bar{u}w]$ — устойчивой. Соответственно при $\varkappa = 4/3$ происходит перестройка ДС образца и 180° -ДГ с $\mathbf{M} \parallel [111]$ в доменах переходит в 180° -ДГ с $\mathbf{M} \parallel [u\bar{u}w]$ в доменах. В структуре последней также имеются перетяжки, связанные с наличием метастабильной оси $[111]$ в плоскости ДГ. Известно [11], что перетяжки, возникающие в окрестности СПФП I рода, являются зародышами образования новой фазы и также способствуют перестройке ДС. В этом случае исходная 180° -ДГ деформируется и в пределе разбивается на две, в частности, при $\varkappa \rightarrow \infty$ ($K_u \rightarrow 0$) на 70.5° - и 109.5° -ДГ [6]. В то же время исследование фазового портрета системы (2) показывает, что в области $4/3 < \varkappa < 3/2$ существует траектория вектора \mathbf{M} в виде замкнутых петель (рис. 1), которым соответствуют решения

$$\begin{aligned} \operatorname{tg} \Theta(y) &= \frac{1}{a \cdot \operatorname{ch}(b \cdot y / \Delta_0) - c}; \\ \varphi &= 0, \pi; \quad \varphi_0 = \pi k / 3, \quad k \in Z, \\ a &= \frac{\sqrt{3\varkappa - 4}}{2(1 - 2\varkappa/3)}; \quad b = \sqrt{1 - 2\varkappa/3}; \\ c &= \frac{\sqrt{2\varkappa} \cos 3(\varphi - \varphi_0)}{6(1 - 2\varkappa/3)}, \end{aligned} \quad (4)$$

где $\Delta_0 = \sqrt{A/K_u}$. Данным решениям отвечают магнитные неоднородности типа СС, в которых $\mathbf{M} \parallel [111]$ в доменах. Как следует из (4), СС в пластине (111) бывает двух типов: большеамплитудный (БАС) и малоамплитудный (МАС), различающихся энергией E , шириной Δ_s и максимальным углом Θ_s отклонения вектора намагниченности \mathbf{M} от однородного состояния (амплитудой). Причем ширина и амплитуда СС, характеризующие его

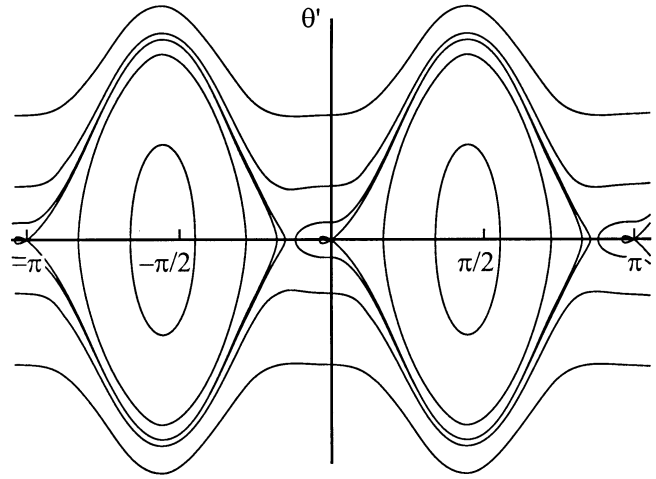


Рис. 1. Фазовый портрет уравнений (2) для $\varphi = 0, \pi$; $\varphi_0 = 0$, $\varkappa = 1.4$.

размеры, имеют вид

$$\operatorname{tg} \Theta_s = 1/(a - c); \quad \Delta_s = 2(\delta/b - \Theta(\delta)/\Theta'(\delta)), \quad (5)$$

где $\delta = \ln(k + \sqrt{k^2 - 1})$, $k (k > 1)$ — максимальный корень кубического уравнения

$$k^3 + p \cdot k + q = 0, \quad p = -\left(2 + \frac{1 + c^2}{a^2}\right); \quad q = 2\frac{c}{a}. \quad (6)$$

Для БАС имеем $E/E_0 \approx 1.4$, где $E_0 = 3\sqrt{AK_u}$, $\Theta_s \approx 140-160^\circ$, а для МАС — $E/E_0 \leq 10^{-2}$, $\Theta_s \leq 20^\circ$; при $\varkappa \rightarrow 3/2$ ширина МАС неограниченно возрастает, а $\Theta_s \rightarrow 0$, что приводит к его расплыванию; для БАС $\Delta_s \rightarrow 8.54\Delta_0$, $\Theta_s \rightarrow 141.6^\circ$ [6]. Анализ условия (3) для решения (4) показывает, что СС как одномерное образование не является устойчивым в рамках идеализированной модели [12]. Такое положение объясняется тем, что в ней учитывались факторы, обуславливающие возникновение в образце ДС. К ним прежде всего относится учет конечности образца. В этом случае необходимо учитывать размагничивающие поля пластины, вклад которых в энергию (1) для блоховских ДГ можно записать в виде

$$\begin{aligned} E_{ms} &= M_s^2 L_x \int_{-\infty}^{\infty} \int_{-\infty}^{\infty} (\cos \Theta(y) \cos \Theta(y') - 1) \\ &\quad \times \ln \left(1 + \frac{D^2}{(y - y')^2} \right) dy dy', \end{aligned} \quad (7)$$

где L_x — размер пластины вдоль оси OX . Можно отметить, что энергия E_{ms} (за вычетом энергии однородного состояния) вносит отрицательный вклад в полную энергию (1). В то же время из анализа выражения (7) следует, что чем больше размеры СС, тем больше $|E_{ms}|$. Тем не менее учет магнитостатического фактора не достаточен (как это будет показано в дальнейшем) для возникновения устойчивых состояний СС.

2. Модель зародышеобразования в реальных кристаллах

Для прояснения вопроса об устойчивости СС рассмотрим термодинамику его образования. Дело в том, что, исходя из структуры этих неоднородностей и условий их существования, можно утверждать, что они представляют собой распределение намагниченности неоднородностей, возникающих при зародышеобразовании новой фазы. Подобные зародыши благодаря флуктуациям всегда возникают в недрах исходной фазы вблизи фазового перехода I рода (в области их сосуществования). В случае, когда первая фаза является метастабильной, а вторая — стабильной (энергетически более выгодной), зародыши новой фазы не являются устойчивыми и быстро исчезают [13]. Однако они могут зарождаться как устойчивые образования, если в термодинамической системе имеются так называемые "центры" конденсации, аналогом которых в магнетиках являются различного рода дефекты: структурные, химические, термические и т. д. [14]. Их наличие в кристаллах нарушает трансляционную симметрию и приводит к тому, что материальные параметры образца становятся неоднородными [15,16].

В качестве такого дефекта, стабилизирующего СС, рассмотрим пластинчатое магнитное включение [17], в котором параметры A , K_u и K_1 имеют значения, отличные от таковых в матрице, т. е. зависят от y в виде

$$\begin{aligned} K_u(y) &= \begin{cases} K_u + \Delta K_u, & |y| \leq L/2, \\ K_u, & |y| > L/2; \end{cases} \\ K_1(y) &= \begin{cases} K_1 + \Delta K_1, & |y| \leq L/2, \\ K_1, & |y| > L/2; \end{cases} \\ A(y) &= \begin{cases} A + \Delta A, & |y| \leq L/2, \\ A, & |y| > L/2; \end{cases} \end{aligned} \quad (8)$$

где L — размер дефекта.

Для количественного описания процесса зародышеобразования на дефекте, рассмотрим вариационный метод, в котором в качестве пробной функции возьмем закон изменения намагниченности в СС в виде (4), где a , b , c будут считаться вариационными параметрами задачи. Очевидно, их значение можно будет определить из минимума энергии (1) с учетом (7) и (8), т. е. из энергии СС E_s вида

$$E_s = E + E_d + E_{ms}, \quad (9)$$

где E_d — определяется выражением

$$\begin{aligned} E_d = L_x D \int_{-L/2}^{L/2} \left\{ \Delta A \left(\frac{\partial \Theta}{\partial y} \right)^2 + \Delta K_u \sin^2 \Theta + \Delta K_1 \right. \\ \left. \times \left[\frac{\sin^4 \Theta}{4} + \frac{\cos^4 \Theta}{3} + \frac{\sqrt{2}}{3} \sin^3 \Theta \cos \Theta \right] \right\} dy. \end{aligned} \quad (10)$$

Такой подход основан на предположении, что учитываемые факторы практически не влияют на структуру магнитных неоднородностей уединенного типа, а лишь изменяют ее параметры. Действительно, магнитостатический фактор оказывает существенное влияние на структуру ДГ (в частности, блоховская ДГ может перейти в неелевскую) лишь для достаточно тонких пластин, толщина которых сравнима с Δ_0 , и значений фактора качества пластины, удовлетворяющих условию: $Q \leq 1$ ($Q = K_u/2\pi M_s^2$). Здесь же предполагается, что $D \gg \Delta_0$ и $Q > 1$. С другой стороны, численное исследование топологии магнитных неоднородностей (без учета магнитостатического фактора), возникающих вблизи дефектов [16,18], показывает, что в кристаллах с комбинированной анизотропией возможно образование СС со структурой, аналогичной (4). С учетом данных обстоятельств и является оправданным используемое приближение.

3. Статические свойства СС

Для определения устойчивых состояний СС в кристалле, содержащем дефекты вида (8), необходимо решить соответствующую вариационную задачу. В силу того что уравнения, минимизирующие энергию E_s относительно параметров a , b , c , имеют громоздкий вид и их невозможно решить в известных функциях, вариационная задача решалась методом численной минимизации приведенной энергии $\varepsilon_s = E_s/M_s^2 L_x D \Delta_0$. При этом в модели учитывалось и то, что центры СС и дефекта могут не совпадать и отличаться на величину ξ .

Полученные результаты представлены на рис. 2–6, где все величины, имеющие размерность длины, приведены к Δ_0 . Как видно из рис. 2, ход зависимостей параметров СС от смещения ξ имеет определенные особенности, связанные с поведением различных сил при взаимодействии СС с дефектом. Прежде всего, надо отметить, что положение равновесия СС определяется центром дефекта. Его смещение относительно центра вызывает появление квазиупругих сил, для которых при малых ξ справедливо приближение закона Гука. Наибольший вклад в эти силы вносит взаимодействие СС с дефектом (кривая ε_d на рис. 3), определяемое выражением (10). При увеличении ξ часть спинов в СС оказывается "вне дефекта", что приводит к возрастанию E_d . В то же время новые участки СС, которые перемещаются в область дефекта, из-за короткодействующего характера этих сил вовлекаются во взаимодействие с дефектом и ослабляют данный эффект. В результате ширина и амплитуда СС (из-за действия обменных сил) увеличиваются. В свою очередь это способствует понижению E_{ms} . В силу того что при $K_1 > 0$ оси легкого намагничивания КА направлены вдоль $\langle 100 \rangle$, а оси трудного — вдоль $\langle 111 \rangle$, то любое отклонение спинов от $[111]$ ведет к понижению энергии КА (E_{ca}), что и видно на рис. 3. Этим же объясняется и повышение энергии НОА (E_u) при увеличении размеров СС.

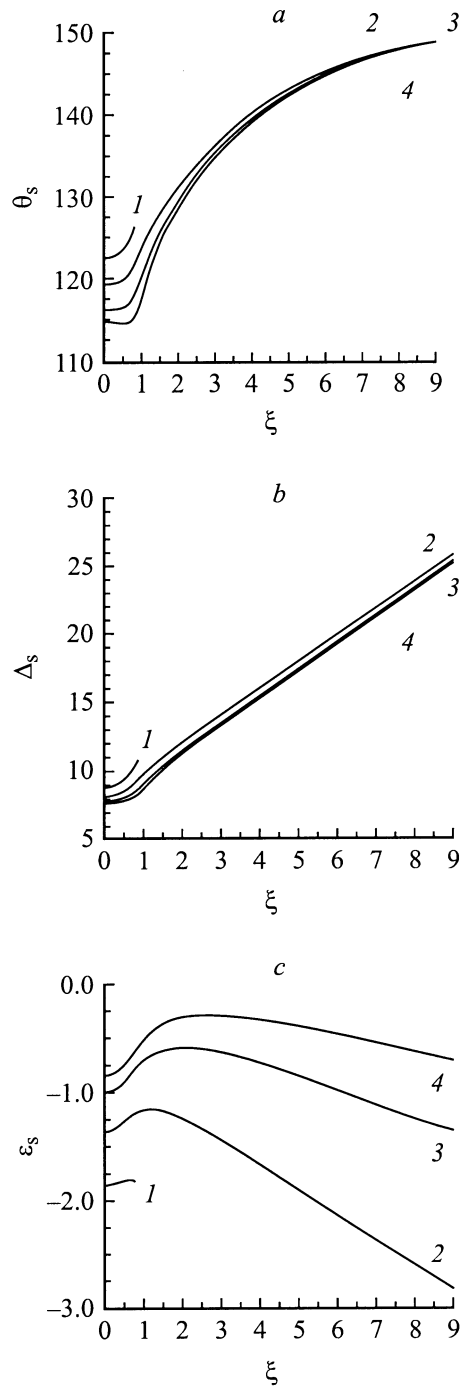


Рис. 2. Графики зависимостей параметров СС Θ_s (а), Δ_s (б), ε_s (с) от смещения ξ для значений $\varkappa = 1.42$, $\Delta A = 0$, $\Delta K_1 = 0.5$, $\Delta K_u = -1.5$, $L = 5$, $D = 35$. Кривая 1 соответствует значению $Q = 5$, 2 — 8, 3 — 15, 4 — 25.

При увеличении ξ характер зависимости результирующей силы от ξ становится нелинейным (рис. 2) и достигает максимума в точке $\xi = \xi_P$, соответствующей точке перегиба функции $\varepsilon_s = \varepsilon_s(\xi)$. В дальнейшем с возрастанием смещения величина этой силы убывает по абсолютной величине вплоть до нуля, что соответствует максимуму энергии $\varepsilon_s(\xi)$. В этой точке (ξ_m) характер

сил взаимодействия меняется на обратный, и при $\xi > \xi_m$ СС будут выталкиваться из дефекта. Квазистатическое рассмотрение данного процесса показывает, что магнетик при этом становится однородно намагниченным с $\mathbf{M} \parallel [uvw]$, так как при неограниченном возрастании параметра ξ $\varepsilon_s \rightarrow -\infty$, $\Delta_s \rightarrow \infty$, $\Theta_s \rightarrow \Theta_m$.

Таким образом, стабилизация структуры СС, определяемая балансом учитываемых сил, достигается в некоторой области изменения материальных параметров, ограниченной их предельными значениями. Так, при уменьшении Q , т.е. при увеличении вклада E_{ms} в энергию (9), при некотором критическом значении ξ магнитостатические поля, действие которых на спины способствует их повороту к плоскости пластины, нарушают условие равновесия сил, и СС в результате расплывается (кривая 1 на рис. 2): $\varepsilon_s \rightarrow -\infty$, $\Delta_s \rightarrow \infty$, $\Theta_s \rightarrow \pi$. Следует отметить, что в отсутствие полей рассеяния

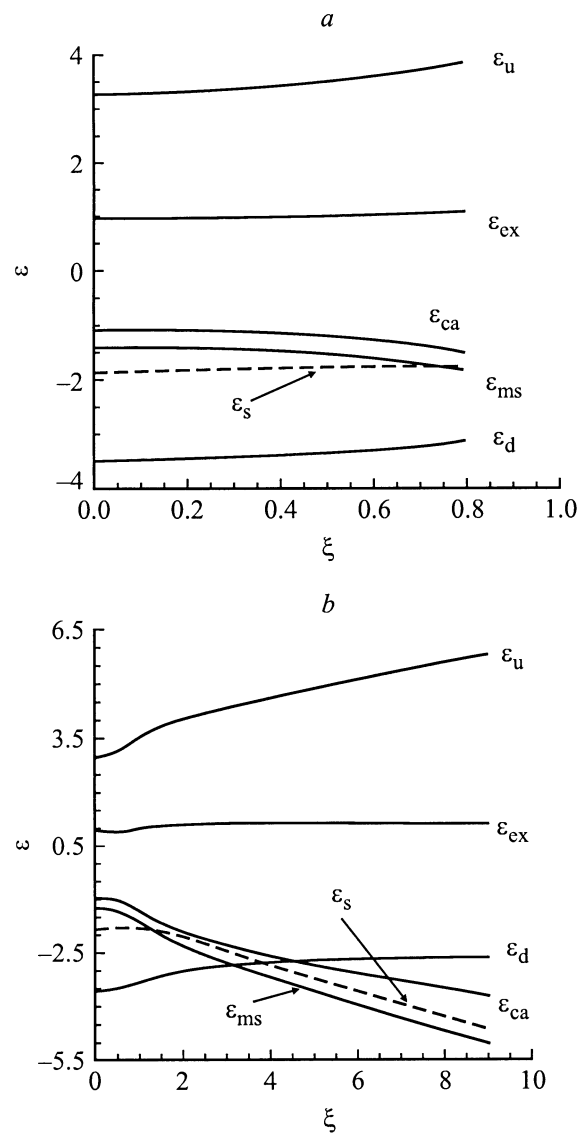


Рис. 3. Графики зависимостей составляющих полной энергии СС от смещения ξ для $Q = 5$ (а) и 8 (б). Значения остальных параметров материала те же, что и на рис. 2.

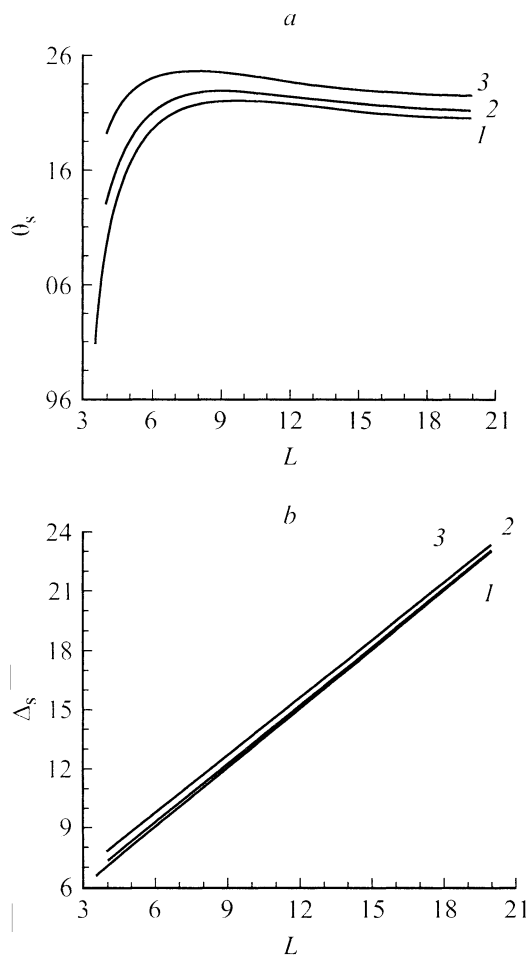


Рис. 4. Кривые зависимостей параметров СС Θ_s (a), Δ_s (b) от ширины дефекта L при $Q = 5$ и $\xi = 0$ (значения остальных параметров те же, что и на рис. 2). Кривая 1 соответствует $\varkappa = 0.83$, 2 — 1.0, 3 — 1.42.

($Q \rightarrow \infty$) область устойчивости СС по материальным параметрам значительно шире, чем при наличии. Причем всегда существует критическое (нижнее) значение Q , при котором СС становится неустойчивым.

Устойчивые состояния СС, как это было показано ранее (рис. 3), в основном определяются наличием дефекта в структуре кристалла. Так, например, из рис. 4 видно, что ширина СС пропорциональна ширине дефекта и с возрастанием последней ширина СС увеличивается и в пределе ($L \rightarrow \infty$) СС расплывается. В этом случае пластина становится однородной (но с другими значениями параметров пластины), и факторы, стабилизирующие СС, исчезают. К сказанному добавим, что предельные значения Θ_s совпадают со значениями полярного угла \mathbf{M} в однородно намагниченной пластине [6]. Также отметим, что при возрастании L становится доминирующей тенденция СС подстроиться под профиль дефекта. В то же время из рис. 4 следует, что процесс зародышеобразования на дефекте носит пороговый характер, так как существует минимальный размер дефекта, при котором СС становится неустойчивым относительно его коллап-

са. Это вполне согласуется с общим положением термодинамики "конденсации" новой фазы [13] и коррелирует с аналогичными зависимостями параметров СС от ΔA , ΔK_1 и ΔK_u (рис. 5, 6). Из этих зависимостей следует, что существует минимальная энергия дефекта, необходимая для возникновения СС с устойчивой структурой, причем она зависит как от размеров дефекта, так и от других

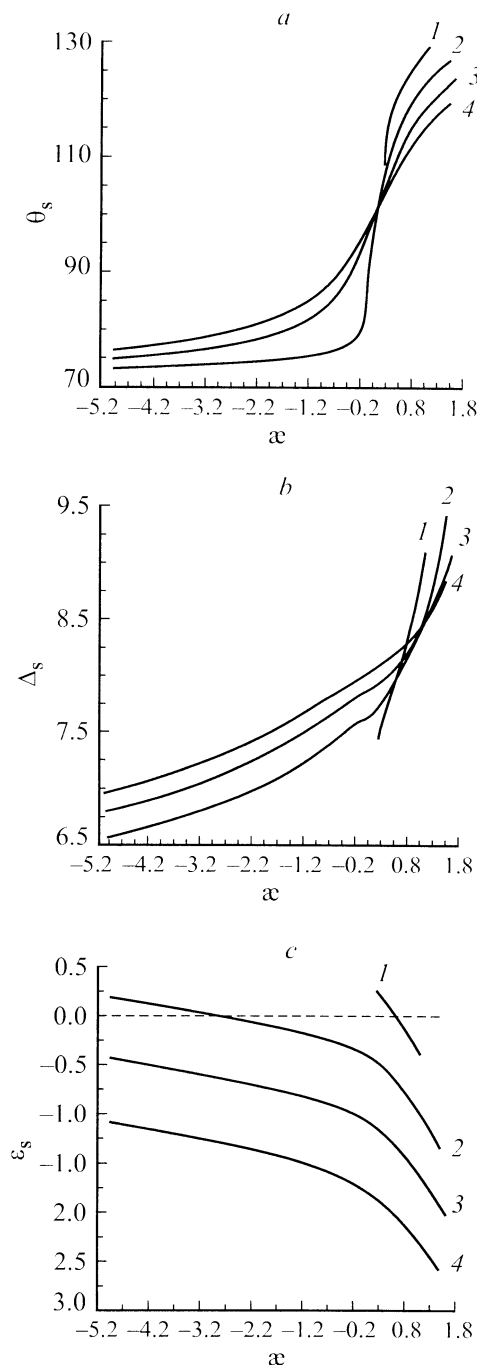


Рис. 5. Графики зависимостей параметров СС Θ_s (a), Δ_s (b), ε_s (c) от величины \varkappa при различных значениях ΔK_u для $L = 5$. Здесь кривая 1 соответствует $\Delta K_u = -0.9$, 2 — 1.2, 3 — 1.5, 4 — 1.8. Остальные параметры принимают те же значения, что и на рис. 4.

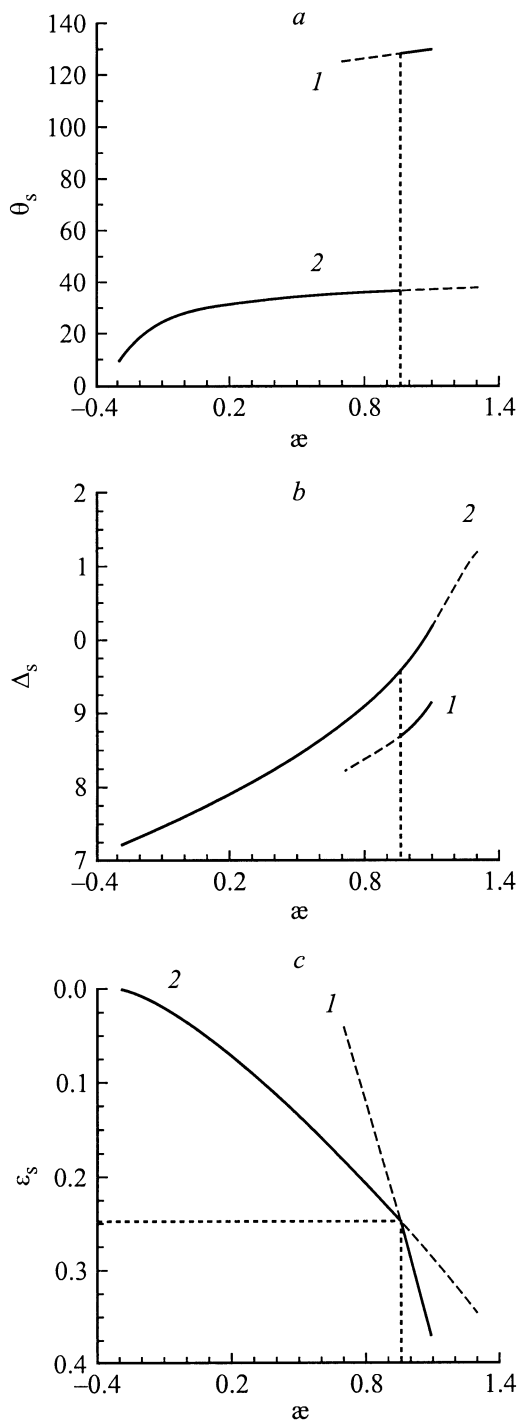


Рис. 6. Кривые зависимостей параметров БАС и МАС от величины x для значения $\Delta K_u = -0.9$ при $\Delta K_1 = 0.5$. Кривая 1 соответствует БАС, 2 — МАС. Остальные параметры принимают те же значения, что и на рис. 5.

его параметров (ΔA , ΔK_1 , ΔK_u). Расчеты показывают, что с возрастанием ΔA ширина СС увеличивается, а амплитуда уменьшается. Это объясняется тем, что увеличение обменного взаимодействия на дефекте приводит к более плавному распределению намагниченности в СС. Более сложную зависимость имеют размеры СС от

ΔK_1 , характеризующие скачок величины КА в области дефекта: с возрастанием ΔK_1 значение Θ_s увеличивается (причем в значительной мере) при $x > 0$ и уменьшается (не очень существенно) при $x < 0$. Такое поведение СС можно объяснить характером КА: при возрастании ΔK_1 , возрастает роль осей $\langle 001 \rangle$, причем в плоскости вращения спинов в 0° -ДГ имеется ось $[001]$, которая составляет угол $\Theta \approx 35^\circ$ с осью $[111]$. Основная часть спинов при $K_1 > 0$ будет стремиться повернуться к этой оси, поэтому Δ_s , а следовательно, и Θ_s (за счет действия обменных сил) будут увеличиваться. При $K_1 < 0$, наоборот, спины в 0° -ДГ стремятся сориентироваться вдоль оси $[111]$, что приводит к указанной зависимости размеров 0° -ДГ от ΔK_1 .

Из расчетов следует (часть из них представлена на рис. 5, 6), что с возрастанием x размеры СС увеличиваются, что согласуется с выражением (5), полученным в идеализированной модели. При этом существует некоторый промежуток значений x (Δx), при котором увеличение размеров происходит настолько существенно, что можно утверждать о переходе от состояния, характерного для МАС, к состоянию, характерному для БАС. Данный переход осуществляется в основном непрерывно в промежутке Δx , который смещается в ту или иную сторону в зависимости от параметров дефекта ΔA и ΔK_1 (но не от ΔK_u). В то же время ситуация меняется на обратную, когда рассматриваем величину Δx : она в значительной мере определяется параметром ΔK_u и практически не зависит от параметров ΔA и ΔK_1 . При некотором критическом значении ΔK_u величина Δx обращается в нуль ($\Delta x = 0$), и переход от МАС к БАС (и обратно) происходит скачком (рис. 6), что говорит о возможной перестройке доменных образований на дефекте. При дальнейшем уменьшении x МАС в размерах сокращается и при некотором предельном значении x он коллапсирует. Здесь необходимо отметить, что в результате коллапса СС, магнетик становится однородно намагниченным с $\mathbf{M} \parallel [111]$. Однако такое состояние может наступить раньше, при больших значениях x , так как в этом случае $\epsilon_s > 0$ и состояние СС является уже метастабильным. В то же время на другом конце области устойчивости по x СС расплывается, так как $\Delta_s \rightarrow \infty$, $\Theta \rightarrow \Theta_m$. Магнетик в этом случае также будет представлять однородно намагниченную пластину с $\mathbf{M} \parallel [111]$. Это означает, что образец перемагнитился, т.е. произошел фазовый переход: $[111] \leftrightarrow [111]$. Очевидно, точка СПФП будет соответствовать верхней границе устойчивости СС по x , при которой происходит расплывание.

Из приведенных результатов видно, что область устойчивости СС по x достаточно широкая и превышает таковую, предсказанную в идеализированной модели. Причем СС существует и при $x = 0$, т.е. в отсутствие КА. Это нетривиальный результат, так как именно наличие комбинированной анизотропии в кристалле является условием возникновения решений типа СС в идеализированной модели. Однако можно отметить работы [16,19], в которых было показано, что характер влияния дефектов на

структуру ДГ таков, что он равносильно учету анизотропных взаимодействий более высоких порядков. Последнее в результате и приводит к эффекту комбинированной анизотропии.

4. Обсуждение результатов

Полученные результаты позволяют смоделировать процесс перемагничивания кристалла следующим образом. Предположим, что при заданных внешних условиях (определяемые температурой, внешними напряжениями и т.д.) магнетик находится в однородно намагниченном состоянии с $\mathbf{M} \parallel [111]$. При увеличении параметра κ при некотором его значении (не обязательно совпадающем с критическим значением κ_{c1} коллапса СС из-за возможных гистерезисных явлений) на дефекте будет зарождаться СС. При дальнейшем увеличении κ размеры СС будут также увеличиваться, а при некотором другом критическом значении κ_{c2} СС расплывается и магнетик становится вновь однородно намагниченным, но с $\mathbf{M} \parallel [uvw]$, т.е. таким образом происходит фазовый переход типа спиновой переориентации. Схожая схема перемагничивания кристалла наблюдалась в [3,20]. Здесь принципиальным является то, что в процессе СПФП новая фаза (угловая фаза с \mathbf{M} , близким к осям $[1\bar{1}1]$) зарождалась на дислокации, разрасталась и затем занимала основной объем кристалла, сжимая исходную фазу с $\mathbf{M} \parallel [111]$ в микрообласть, локализованную также на дислокации. Очевидно, последней может соответствовать СС, доменное состояние которой определяется угловой фазой с $\mathbf{M} \parallel [uvw]$. Конечно, предложенное объяснение результатов работы [3,20] (кстати говоря, не единственное, например, в [21] численно найдено распределение вектора \mathbf{M} в области дислокации, качественно совпадающее с [20], однако только для безграничного кристалла, причем кинетика процесса в ней также не исследована) является приближенным, так как рассматриваемая модель кристалла с дефектом является одномерной, в то время как наблюдаемые в ней дислокации и магнитные неоднородности являются по крайней мере двумерными объектами. Однако в пользу такой интерпретации говорит тот факт, что, во-первых, размеры дефекта и СС сравнимы, причем $\Delta_s > 1$, что наблюдается в эксперименте [20]. Во-вторых, существует определенная корреляция, наиболее сильно проявляемая вблизи СПФП, между зависимостью размеров СС от κ и зависимостью от температуры размеров микрообластей, локализованных на дислокации. При увеличении температуры образца на $\Delta T \approx 1^\circ \text{K}$ микрообласть резко расширяется и занимает весь объем; СС также неограниченно увеличивается в размерах при возрастании κ (в области $\kappa \approx \kappa_{c2}$ на величину $\Delta\kappa \approx 0.1$). В-третьих, как следует из вышеприведенного анализа, СС стремится подстроиться под профиль дефекта, и, следовательно, форму магнитных неоднородностей, локализованных на дислокациях, качественно можно объяснить в рамках данной модели.

Таким образом, приведенные исследования показывают, что СС является устойчивым образованием при определенных значениях параметра образца и дефектов определенного типа. Они обладают рядом интересных свойств, которые позволяют их интерпретировать как зародыши новой фазы, локализованные на дефектах и возникающие при фазовых переходах типа спиновой переориентации. СС в данном случае является промежуточным звеном при перемагничивании кристалла. В то же время анализ этих неоднородностей может служить и для интерпретации других экспериментальных данных, в частности процессов перемагничивания в магнитном поле, где существенную роль играют различного рода дефекты. Эти неоднородности можно также использовать и в практических целях.

Список литературы

- [1] С.В. Вонсовский. Магнетизм. Наука, М. (1971). 1032 с.
- [2] Г.С. Кандаурова, Л.А. Памятных. ФТТ **31**, 8, 132 (1989).
- [3] В.К. Власко-Власов, Л.М. Дедух, М.В. Инденбом, В.И. Никитенко. ЖЭТФ **84**, 1, 277 (1983).
- [4] П.П. Шатский. ЖЭТФ **107**, 2, 568 (1995).
- [5] С. Тикадзуми. Физика ферромагнетизма. Магнитные характеристики и практические применения. Мир, М. (1987). 419 с.
- [6] Р.М. Вахитов, Р.М. Сабитов, М.М. Фарзтдинов. ФТТ **27**, 6, 1852 (1985).
- [7] А.М. Косевич. ФММ **53**, 3, 420 (1982).
- [8] А.М. Балбашов, А.В. Залесский, В.Г. Кривенко, Е.В. Синицын. Письма в ЖТФ **14**, 4, 293 (1988).
- [9] L.J. Heyderman, H. Nieldova, H.O. Gurtpts, I.B. Puchalska. J. Magn. Magn. Mater. **96**, 125 (1991).
- [10] А. Хуберт. Теория доменных стенок в упорядоченных средах. Мир, М. (1977). 306 с.
- [11] К.П. Белов, А.К. Звездин, А.М. Кадомцева, Р.З. Левитин. Ориентационные переходы в редкоземельных магнетиках. Наука, М. (1979). 320 с.
- [12] У.Ф. Браун. Микромагнетизм. Наука, М. (1979). 160 с.
- [13] Л.Д. Ландау, Е.М. Лифшиц. Статистическая физика. Ч. 1. Наука, М. (1976). 584 с.
- [14] В.В. Рандошкин, А.Я. Червоненкис. Прикладная магнитооптика. Энергоатомиздат, М. (1990). 320 с.
- [15] А.И. Мицек, С.С. Семьяникова. ФТТ **11**, 5, 1103 (1969).
- [16] М.А. Шамсутдинов, В.Г. Веселаго, М.М. Фарзтдинов, Е.Г. Екомасов. ФТТ **32**, 2, 497 (1990).
- [17] A. Sakuma, S. Tanigawa, M. Tokunaga. J. Magn. Magn. Mater. **84**, 52 (1990).
- [18] В.Г. Веселаго, И.В. Владимиров, Р.А. Дорошенко, В.Д. Плавский. Препринт № 53. М. (1989) 36 с.
- [19] Е.В. Синицын, И.Г. Бострем. ЖЭТФ **85**, 2, 661 (1983).
- [20] В.К. Власко-Власов, М.В. Инденбом. ЖЭТФ **86**, 3, 1084 (1984).
- [21] A.B. Dichenko, V.V. Nicolaev. J. Magn. Magn. Mater. **53**, 71 (1985).